

ЭФФЕКТ БЛИЗОСТИ И ФАЗОВАЯ ДИАГРАММА СВЕРХПРОВОДИМОСТИ ПЛОСКОСТИ ДВОЙНИКОВАНИЯ МЕТАЛЛИЧЕСКИХ КРИСТАЛЛОВ

И.Н.Хлюстиков, М.С.Хайкин

Исследована фазовая диаграмма сверхпроводимости плоскости двойникования монокристаллов олова в координатах (H, T) . Обнаружена зависимость критических параметров пары параллельных плоскостей двойникования от расстояния между ними и исследована зависимость от этого расстояния фазовой диаграммы пары плоскостей. Наблюдена сверхпроводимость плоскостей двойникования монокристаллов индия и таллия.

1. В опытах^{1, 2}, в которых была обнаружена сверхпроводимость плоскости двойникования (ПД) бикристалла олова, было замечено существование областей стабильной и метастабильной фаз. Пример записи магнитного момента образца $M_D(H)$, демонстрирующий это обстоятельство, приведен на рис. 1 справа вверху. Если запись M_D начинается с достаточно большого значения поля H (стрелка a), то момент M_D возникает скачком при поле H_m (в хорошем однородном образце наблюдается один скачок, в иных случаях — несколько). При обратном изменении поля запись момента M_D идет по пунктирной кривой, и M_D исчезает при $H \approx H_d$.

Если снова обратить направление изменения поля H , не доходя до H_d (т.е. по стрелке b), то M_D изменяется обратимо (по пунктиру). Если же зайти в область $H > H_d$ и затем уменьшить H , то запись M_D опять идет по стрелке a . Уменьшая интервал (a , b), можно измерить поле H_d — верхнюю границу области метастабильных состояний — с точностью ~5%; нижняя граница H_m воспроизводится с такой же точностью при повторных экспериментах.

В результате описанных измерений H_d и H_m при различных температурах и на различных образцах получена фазовая диаграмма, представленная на рис. 1. Масштабы по осям выбраны в соответствии с эмпирической формулой $M_D \sim H \exp[-H/h] \exp[-(T-T_c)/\tau]$, найденной в работе³ и описывающей зависимость $M_D(H, T)$ во всем исследованном интервале H и T (пример подобной зависимости приведен на рис. 1 вверху). Величины h и τ зависят от качества образца, однако их отношение остается постоянным и равным $h/\tau = 110$ Э/К (исследованы несколько десятков образцов). Характерные значения констант h и τ приведены в таблице. Сходная фазовая диаграмма предложена в работе⁴; более точные расчеты фазовой диаграммы, выполненные позже авторами этой работы, привели к хорошему количественному согласию с излагаемыми результатами опытов.

На фазовой диаграмме рис. 1 линией без точек указана граница существования объемной сверхпроводимости образца олова $H_c(T)$ с наклоном -164 Э/К. По экспериментальным точкам проведены интерполирующие прямые $H_d(T)$ с наклоном -120 Э/К и $H_m(T)$ с наклоном -40 Э/К. Эти линии разбивают плоскость (H, T) на следующие области:

I — область объемной сверхпроводимости;

II — область нормального состояния;

III — область метастабильных состояний сверхпроводимости ПД;

IV — область стабильных состояний сверхпроводимости ПД.

Правые пунктирные части прямых $H_d(T)$ и $H_m(T)$ — экстраполяция в область, где измерений нет (сигнал оказывается намного слабее шумов). Отметим, что прямые $H_d(T)$ и $H_m(T)$ пересекаются вблизи точки с координатами (4,0).

2. Известно, что критическая температура и критическое поле тонкого слоя сверхпроводника снижаются под влиянием близости нормального металла. Этот эффект близости, очевидно, должен сказываться и на сверхпроводимости ПД. Описываемые далее опыты имели целью обнаружение обратного эффекта: повышения критических температуры и поля двух близко лежащих ПД с уменьшением расстояния между ними.

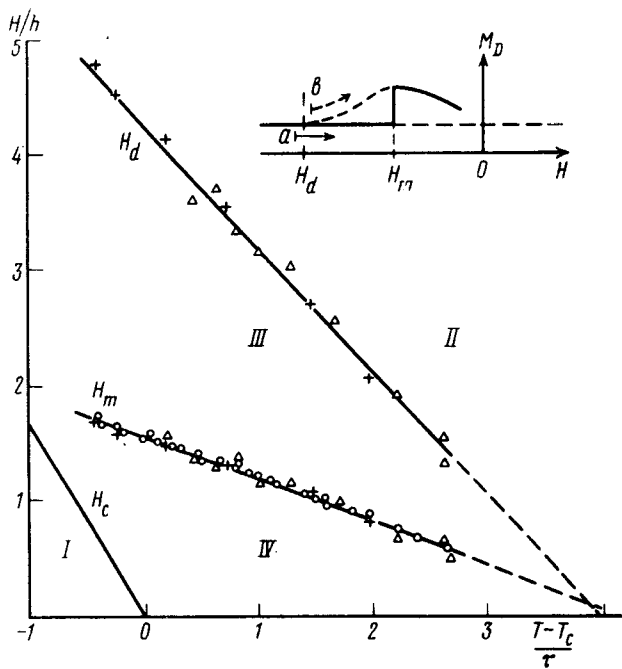


Рис. 1

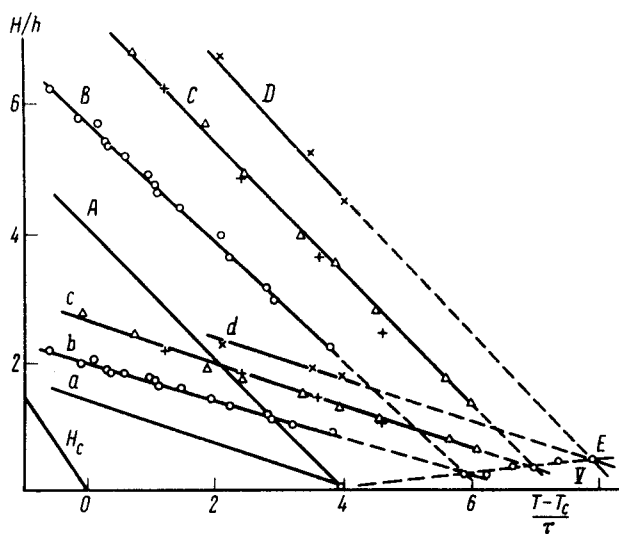


Рис. 2

Для обнаружения эффекта был изготовлен монокристалл олова, в котором путем механического двойникования образован пересекающий его тонкий $\sim 3 \cdot 10^{-3}$ см кристалл-двойник. Благодаря тщательному изготовлению (отбор, отжиг) удалось получить образец, в котором наблюдался переход к сверхпроводимости ПД одним скачком — подобно изображеному на графике рис. 1 (вверху). Результаты измерений H_d и H_m на этом образце представлены прямыми B и b (соответственно) на рис. 2. Для сравнения на этом рисунке проведены прямые A и a , воспроизводящие прямые H_d и H_m рис. 1. Видно, что наличие двух ПД привело к увеличению значений их критических параметров. На нескольких других образцах были получены аналогичные результаты, представленные для одного из образцов прямыми C и c , а для остальных — только точками пересечений соответствующих прямых H_d и H_m , лежащими близ прямой E . К сожалению, измерить толщину прослойки двойника на этих образцах не удалось. Прямые D и d представляют результаты измерений однородно деформированного образца, в котором средняя плотность участков ПД опре-

делялась по величине диамагнитного момента; среднее расстояние между этими участками⁵ оценено в $\sim 10^{-4}$ см. Как видно из рис. 2, интервал температур, в котором существует исследуемый эффект, увеличился вдвое по сравнению с уединенной ПД.

Описанные эксперименты указывают на очень интересную возможность существенного повышения критических параметров металла в образце периодической структуры – в виде множества тонких параллельных монокристаллических слоев, имеющих взаимную ориентацию двойников.

Отметим, что прямая E рис. 2, на которой лежат точки пересечения прямых H_d и H_m , ограничивает еще одну часть фазовой диаграммы – область V , в которой имеет место инверсное соотношение верхнего и нижнего критических полей $H_d < H_m$; однако, сделать какие-либо измерения в этой любопытной области пока не удалось.

3. Кроме описанных опытов с Sn, были выполнены опыты по наблюдению сверхпроводимости ПД в In, Tl и Al; в последнем эффект не найден. Характеристики этих металлов приведены в таблице.

	Sn	In	Tl	Al
структура	тетрагон.	тетрагон.	гексагон.	г.ц. куб.
плоскость двойникования	(301)	(101)	(1012)	(111)
$\tau, \text{К}$	$\sim 0,01$	$\sim 0,001$	$\sim 0,001$	–
$h, \text{Э}$	$\sim 0,8 \div 1$	$\sim 0,1$	$\sim 0,1$	–

Отметим еще раз, что ПД является плоскостью зеркальной симметрии бикристалла. Работах^{1, 2} высказаны соображения о том, что симметрия бикристалла относительно ПД служит причиной появления в двойнике экстремальной группы электронов, не существующей в монокристалле. Эти электроны, движущиеся параллельно ПД, сильно взаимодействуют с фононами ПД, также не существующими в монокристалле. Таким образом в бикристалле близ ПД возникает „двумерный металл“^{1, 2}, свойства которого могут существенно отличаться от свойств трехмерного кристалла того же металла. В частности, спектр фононов „двумерного металла“ смягчен, по сравнению с трехмерным, тем сильнее, чем более косо ориентирована ПД, вследствие малой ее населенности атомами металла. Последнее и приводит к повышению критической температуры ПД – наибольшему для Sn.

Действительно, смягчение спектра фононов есть путь повышения критической температуры T_c сверхпроводника⁶. Так, сжатие решетки кристалла Sn на 1% приводит⁷ к понижению T_c (Sn) на ~ 1 К; ее растяжение приведет к соответствующему росту T_c (Sn). Межатомные расстояния в плоскости (301), являющейся ПД, на $\sim 50\%$ (в среднем) больше размеров кристаллической ячейки Sn. Это делает вполне естественным значительное повышение T_c (ПД Sn), снижаемое лишь эффектом близости кристалла Sn, находящегося в нормальном состоянии при $T > T_c$ (Sn).

П.Л.Капице авторы благодарны за интерес к работе, Л.Н.Булаевскому и А.И.Буздину – за ее обсуждение, Ю.В.Шарвину – за предоставленные образцы Al, Г.С.Чернышеву – за техническую помощь.

Литература

1. Хайкин М.С., Хлюстиков И.Н. Письма в ЖЭТФ, 1981, 33, 167.
2. Khaikin M.S., Khlustikov I.N. Physica, 1981, 108B, 1259.
3. Хлюстиков И.Н., Хайкин М.С. ЖЭТФ, 1978, 75, 1158.

4. Буздин А.И., Булаевский Л.Н. Письма в ЖЭТФ, 1981, 34, 118.
5. Хлюстиков И.Н., Хайкин М.С. Письма в ЖЭТФ, 1981, 34, 207.
6. „Проблема высокотемпературной сверхпроводимости” под ред. В.Л.Гинзбурга и Д.А.Киржница, М.: Наука, 1977.
7. Seiden P.E. Phys. Rev., 1969, 179, 458.

Институт физических проблем
Академии наук СССР

Поступила в редакцию
2 июля 1982 г.
